

# 自固化磷酸钙人工骨复合骨形成蛋白 在牙槽骨缺损修复中的应用

邓汉龙<sup>1</sup> 朱 静<sup>1</sup> 潘可风<sup>2</sup> 刘昌胜<sup>3</sup>

1. 上海市口腔病防治院 (200031)

2. 同济大学口腔医学院 (200072)

3. 上海瑞邦生物材料有限公司

**【摘要】目的** 探讨自固化磷酸钙人工骨(autosolidification calcium phosphate cement, ACPC)复合骨形成蛋白(bone morphogenetic protein, BMP)对牙槽骨缺损修复的生物学作用。方法 将 ACPC/BMP 即刻植入拔牙术后患者牙槽创口, 随访 24 周, 通过临床检查和 CCD 数字化摄片观察牙槽骨缺损修复情况。结果 实验位点无炎症、过敏和毒性反应发生, 实验组患者牙槽嵴骨量吸收较空白对照组少, 外形维持较好。结论 BMP/ACPC 复合骨兼具骨的引导性和诱导性, 可促进新骨沉积钙化, 即刻植入拔牙创利于增加牙槽骨量, 维持牙槽外形, 但材料降解性存在不足。

**【关键词】** 自固化磷酸钙人工骨 骨形成蛋白 牙槽骨缺损

## Application of Autosolidification Calcium Phosphate Cement with Bone Morphogenetic Protein in Repairing Alveolar Bone Defects

Deng Hanlong<sup>1</sup> Zhu Jing<sup>1</sup> Pan Kefeng<sup>2</sup> Liu Changsheng<sup>3</sup>

1. Shanghai Stomatology Disease Center (200031)

2. Institute of Stomatatology, Tongji University (200072)

3. Shanghai Rebone Biomaterials Company

**【Abstract】Objective** To study the effects of artificial bone composition of autosolidification calcium phosphate cement with bone morphogenetic protein on rehabilitation alveolar socket bone defects in clinic. **Methods** In Clinic, we immediately implant ACPC/BMP into the extraction socket, and the results were evaluated with general observation and X-ray for 24 weeks. **Result** No apparent inflammation was observed during the observation periods, and the height and width of alveolar were maintained better than the control. **Conclusion** The results suggest that ACPC/BMP had osteoconductivity and could promote osteoinduction. It could be used as a material for enhancing alveolar bone defects repairing.

**【Key words】** autosolidification calcium phosphate cement bone morphogenetic protein alveolar defects

自固化磷酸钙人工骨(Autosolidification Calcium Phosphate Cement, ACPC)属非陶瓷型羟基磷灰石类人工骨, 安全可靠, 具有骨引导性和载药性能。骨形成蛋白(bone morphogenetic protein,

BMP)是已知的所有生长因子中对骨的形成作用最强的生长因子。本实验选择自固化磷酸钙人工骨复合骨形成蛋白(ACPC/BMP)进行临床试验, 采用大体观测和数字化影像学方法, 研究 ACPC/BMP 在

修复牙槽骨骨质缺损中的作用,评价其在人的牙齿拔除后牙槽骨缺损修复中的临床可行性。

## 材料与方法

### 一、材料

ACPC,(粉 1 克、液 1ml 独立包装)上海瑞邦生物材料有限公司;BMP,上海瑞邦生物材料有限公司;VOCO pac 牙周塞治剂,宏信医疗器械公司;CCD 数字化 X 线投照成像系统及配套分析软件 Sery-A-Ray。

### 二、实验方法

#### 1. 分组和对照:

选择因正畸、外伤、龋病、残根而需要拔牙者(牙周病除外),要求无其他系统性疾病,配合积极,可按时定期复诊。将患者随机分为实验组和对照组,实验组 20 例,对照组 10 例。实验组拔牙后牙槽窝内置入 ACPC/BMP,对照组设计为空白对照,术中不使用人工骨材料。

#### 2. 手术方法和步骤

拔牙前 1/5000 高锰酸钾溶液漱口,0.1% 洗必泰消毒口腔及面中下部。

实验组:局麻下拔除实验位点的牙齿,肾上腺素纱布充分止血后,调和人工骨材料,(0.5mg BMP/1g 粉/1ml 液),紧密填塞于充分止血后的骨缺损内,高度与牙槽嵴顶平齐。温纱布覆盖创口加速材料固化,两侧牙龈缝合,收缩创口,上置牙周塞治剂。一周内进软食,一周后拆线。

对照组:按常规拔除患牙,创口内不放置人工骨材料,两侧牙龈缝合,收缩创口,上置牙周塞治剂。一周内进软食,一周后拆线。

#### 3. 观察方法

术后 1 周、4 周、12 周复诊,临床观察软组织反应,有无创口的裂开、红肿、化脓,有无毒副反应,观察材料的移位、脱落情况及牙槽嵴的外形变化;同时进行影像学检查,以常规角度、距离、时间、强度投照,拍摄 CCD 图像,观察拔牙窝骨缺损区植入材料与周围骨的结合情况、骨密度和牙槽嵴的高度。

## 结 果

### 1. 临床观察

实验组:术中与术后患者无不适感。术后 1 周复诊,面部对称,无红肿。牙周塞治剂完好覆盖于创口,拆除塞治剂及缝线,可见牙周、牙龈无明显红肿,创口有明显收缩趋势,但仍见有 ACPC/BMP 人工骨的暴露,在磨牙区暴露面积约  $2\text{mm} \times 3\text{mm}$ ,在前磨牙和切牙区暴露面积约  $2\text{mm} \times 2\text{mm}$ 。探及材料质地硬,无松动。牙槽外形无明显变化。术后 4 周观察,见创口继续收缩,30% 创口基本闭合,70% 仍可见约  $1\text{mm} \times 1\text{mm}$  大小的软组织孔隙,可探及人工骨材料。牙槽高度宽度无明显变化。术后 12 周观察,牙龈色泽质地均正常、无压痛,牙槽外形得以维持。3 例磨牙龈创口仍未闭合,可探及材料稳固,炎症反应不明显,进行第二次手术降低材料高度,并再次拉拢牙龈褥式缝合。二次手术后 2 周,牙龈软组织闭合,牙槽宽度无明显变化,高度略有降低。

对照组:术中与术后患者无不适感。术后 1 周,拔牙创面基本愈合,牙龈质地较脆,颜色较正常偏红,高低不平,中部凹陷明显,牙槽高度宽度无明显变化。术后 4 周创面完全闭合,牙龈粉红致密,尚未完全平复,牙槽嵴顶水平面高度由中部开始轻微凹陷,宽度略变窄。术后 12 周牙龈软组织完全恢复,牙槽有所狭窄低平。

#### 2. 影像学观察

实验组:植入的人工骨 ACPC/BMP 材料呈 X 线阻射影。术后 1 周,材料与周围骨质紧密接触,界限较清楚,两者间无低密度透射影像,材料高度与牙槽嵴顶基本平齐,材料邻近的骨质疏松,骨小梁稀疏细小;术后 4 周,材料与周围骨间的界限开始模糊,周围骨质密度较前增加,骨小梁增粗,排列方向无明显一致性,材料高度与牙槽嵴顶平齐;术后 12 周,材料与骨融合较前紧密,材料周围的骨质密度增加,骨小梁继续粗大,排列方向规律仍不明显,高度保持与牙槽嵴顶平齐。

对照组:术后 1 周,拔牙窝骨缺损境界清晰,未见新生骨;术后 4 周,可见新骨生成,骨小梁相对纤细,紊乱,原牙槽窝界限仍可辨出,牙槽嵴顶高度不足;术后 12 周,新生骨趋于成熟,骨小梁粗大整齐,牙槽嵴高度下降明显。



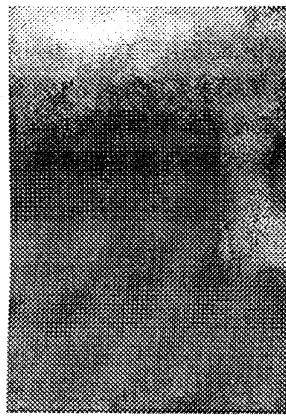
实验组：术后 1 周



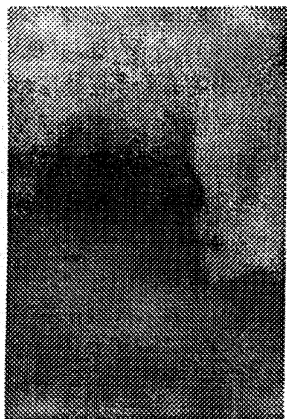
术后 4 周



术后 12 周



对照组：术后 1 周



术后 4 周



术后 12 周

## 讨 论

牙槽骨是高度可塑性组织，随着牙齿的萌出、乳牙的替换、恒牙的移动脱落、咀嚼功能等生理活动，是全身骨骼中变化最活跃的部分，其改建过程与成骨细胞和破骨细胞关系密切。拔牙创的正常愈合过程中，牙槽嵴顶骨质通常吸收大约 1/3，牙槽窝变浅，拔牙术后 3 个月，新生骨达到吸收的牙槽嵴顶水平<sup>[1]</sup>。萎缩性牙槽嵴的修复和治疗是当前口腔领域亟待解决的问题，采用外科手段保留和增高牙槽嵴是主要的发展趋势，其治疗有两个方面：采用手术方法增高牙槽嵴的高度，或预防性治疗，在拔牙术后牙槽窝内即刻植入异体成形材料，防止或延缓牙槽嵴

在拔牙术后的快速吸收<sup>[2]</sup>。第一种方法难度大，耗时多，而预防性治疗正逐步展现出其自身的优越性。

ACPC 作为非陶瓷型羟基磷灰石类人工骨，由固相和液相调和而成，固化反应产物为羟基磷灰石。反应可在机体内常温下进行，仅轻微放热，并可自行调节酸碱度维持在中性水平，安全可靠。该材料生物相容性较好，无免疫排异现象，可与种植床呈骨性结合，具有骨引导性、载药性能和一定的降解性能，并且临床操作简便，现已逐步获得医学领域认可<sup>[3-11]</sup>。

BMP 是一种低分子糖蛋白，1965 年由 Urist 首先发现，并于 1979 年从鼠胫骨脱矿骨基质中成功分离。BMP 是已知的所有生长因子中对骨的形成作用最强的生长因子，可诱导未分化间充质细胞、肌源性

细胞、成骨前体细胞等向骨-软骨细胞分化，在骨及牙齿的生长发育和创伤修复中发挥着重要作用<sup>[12,13,14]</sup>。

ACPC/BMP 复合骨植入患者拔牙创之后，未见患者出现明显的炎症过敏反应，随着术后观察时间的延长，材料与牙槽窝骨壁逐渐融合，显示出良好的组织相容性。术后 12 周时，多数患者牙槽外形维持较好，软组织愈合完全。但 X 线检查显示材料的降解不明显，总体积在 12 周内变化不明显，可能与 ACPC 的结构有关。材料固化后孔隙率为 25~29%，主要孔径小于 10 μm。孙明林等将孔隙率为 44.55% 的磷酸钙人工骨植入兔桡骨干骨缺损，材料的降解较明显，但仍然不能满足新骨生长的要求<sup>[15]</sup>。拔牙创的正常愈合通常为 3 个月，材料长期不能完全降解会影响新骨的生长和改建，此时是否可以进行缺失牙位的义齿的修复，以及上部修复体对含有复合人工骨的牙槽嵴有何影响，如何找到合适降解速率的人工骨材料，这些尚待进一步的研究。

CCD 数字化 X 线拍照成像系统，在临床工作中，X 线检查是了解骨质发育和病变情况的最常用的手段，对明确诊断、选择治疗和估计预后有着极为重要的意义。近几十年来，计算机科学的发展促进了直接数字化影像技术在临床中的应用。该技术可分为两类：基于 CCD 板的系统 (charge-coupled device-based sensor) 和基于 PSP 板的系统 (photostimulable phosphor plate)。两者共同的特点是都能快速获取拍摄图像，无需传统的暗室操作系统；辐射剂量大大降低，对患者的危害小；得到的图像为数字化形式，图像的检索、贮存和传送十分方便快捷<sup>[16]</sup>。本实验中，使用 CCD 数字化 X 线拍照成像系统及配套分析软件 Sery-A-Ray 采集数据，获得了较清晰的图像，容易分辨各时间段患者术区的骨质密度变化。

本研究提示，ACPC/BMP 人工骨具有良好的组织相容性，即刻植入合适患者的拔牙创有利于增加牙槽骨量，维持牙槽外形；CCD 数字化 X 线拍照成像系统及配套分析软件 Sery-A-Ray 能够满足临床需要，与普通 X 线摄相比，是一种更加完全有效的检测手段。

## 参考文献

- Maeno M, Mead PE, Kelly C, et al. The role of BMP-4 and GTAT-2 in the induction and differentiation of hematopoietic mesoderm in *Xenopus laevis*. *Bone*. 1996, 88: 1965-1972
- Kusumoto K, Bessho K, Fujimura K, et al. Intramuscular osteoinduction and bone marrow formation by the implantation of rhBMP-2 with atelopeptide type 1 collagen. *Br J Oral Maxillofac Surg*. 1997, 35: 433-437
- 刘昌胜, 沈卫, 顾燕芳. 非陶瓷羟基磷灰石人工骨的研究. *化工进展*. 1996, 1: 10-14
- 王文波, 陈中伟, 陈统一, 等. 羟基磷灰石水泥的体外生物学安全性试验. *上海生物医学工程*, 1996, (17)4: 8-12
- Miyamoto Y, Ishikawa K, Takechi M, et al. Soft tissue response of calcium phosphate cements. *Bioceramics*. 1996, 9: 263-266
- Takechi M, Miyamoto Y, Ishikawa K, et al. Initial histological evaluation of anti-washout type fast-setting calcium phosphate cement following subcutaneous implantation. *Biomaterials*. 1998, 19: 2057-2063
- Kurashina K, Kurita H, Kotani A, et al. Experimental cranioplasty and skeletal augmentation using an α-tricalcium phosphate/dicalcium phosphate dibasic/tetracalcium phosphate monoxide cement : a preliminary short-term experiment in rabbits. *Biomaterials*. 1998, 19: 701-706
- Fujikawa K, Sugawara A, Murai S, et al. Histopathological reaction of calcium phosphate cement in periodontal bone defect. *Dent Mater J*. 1995, 14(1): 45-57
- Otsuka M, Matsuda Y, Fox JL, et al. A novel skeletal drug delivery system using self-setting calcium phosphate cement 9: Effects of the mixing solution volume on anticancer drug release from homogeneous drug-loaded cement. *J Pharm Sci*. 1995, 84(6): 733-736
- Otsuka M, Nakahigashi Y, Matsuda Y, et al. A novel skeletal drug delivery system using self-setting calcium phosphate cement 7: Effect of biological factor on

- indomethacin release from the cement loaded on bovine bone. *J Pharm Sci.* 1994, 83(11): 1569-1573
- 11 Otsuka M, Matsuda Y, Suwa Y, et al. A novel skeletal drug delivery system using self-setting calcium phosphate cement5: Drug release behavior from a heterogeneous drug-loaded cement containing an anticancer drug. *J Pharm Sci.* 1994, 83(11): 1565-1568
- 12 Ahrens M, Ankenbauer T, Schroder D, et al. Expression of human BMP-2 or-4 in murine mesenchymal progenitor C3H10T1/2 cells mesenchymal cell lineages. *DNA Cell Biol.* 1993, 12(10): 871-880
- 13 Yamaguchi A, Katagiri T, Ikeda T, et al. Recombinant human Bone Morphogenetic Protein 2 stimulates osteoblastic maturation and inhibits myogenic differentiation in vitro. *J Cell Biol.* 1991, 113(3): 681-687
- 14 Richard DJ, Sullivan TA, Shenker BJ, et al. Induction of rapid osteoblast differentiation in rat bone marrow stromal cell culture by dexamethasone and BMP-2. *Dev Biol.* 1994, 161: 218
- 15 孙明林, 胡蕴玉, 贾新斌, 等. 磷酸钙骨水泥/骨形态发生蛋白复合人工骨的生物相容性. 第四军医大学学报. 2001, 22(11): 1006-1009
- 16 Grondahl HG, Wenzel A, Borg E, et al. An image plate system for digital intra-oral radiography. *Dent Update.* 1996, 23: 334-337

(收稿日期:02-08-13)